

УДК 621.315.592

**ОБ ОСЦИЛЛЯЦИИ ЭЛЕКТРОСТАТИЧЕСКОГО ПОТЕНЦИАЛА  
В ПОЛУПРОВОДНИКАХ ПРИ ЭКРАНИРОВАНИИ  
ВНЕШНЕГО ЭЛЕКТРИЧЕСКОГО ПОЛЯ  
НЕРАВНОВЕСНЫМИ НОСИТЕЛЯМИ ЗАРЯДА**

*A. M. Монахов, A. A. Рогачев*

В приближении Хартри рассмотрена задача об экранировании внешнего электрического поля в полупроводниках при наличии в объеме полупроводника неравновесных носителей заряда. Показано, что в этих условиях плотность заряда и электростатический потенциал вблизи поверхности осцилируют с уменьшающейся амплитудой и возрастающим периодом.

В экспериментах [1-3] наблюдалась новая линия в спектре люминесценции полупроводника, находившегося во внешнем электрическом поле. Эта линия возникает в результате рекомбинации носителей, экранирующих внешнее электрическое поле (в дальнейшем для определенности — электронов), и неравновесных дырок, захваченных слоем электронов. Такие электроны и дырки образуют квазидвумерную систему с двумя или более чем с двумя чередующимися противоположно заряженными слоями. Качественно появление таких квазидвумерных электронно-дырочных (ЭД) слоев на поверхности полупроводника можно представить следующим образом. В полупроводнике, находящемся во внешнем электрическом поле, в условиях термодинамического равновесия при температуре, близкой к нулю, поверхностная плотность квазидвумерных электронов вблизи поверхности  $n_s$ , определяется величиной внешнего электрического поля и положением уровня Ферми в объеме полупроводника. При освещении квазиуровень Ферми для электронов оказывается выше, чем в равновесии, и поверхностная плотность электронов оказывается равной  $n_s + \Delta n_s$ , где  $\Delta n_s$  — дополнительная плотность электронов, связанная с повышением квазиуровня Ферми. В результате в объеме полупроводника появляется электрическое поле, направленное противоположно по отношению к внешнему. В этом поле локализуются дырки. Дырки, в свою очередь, могут переэкрантировать созданное дополнительными электронами поле, и, таким образом, возникает осциллирующий электростатический потенциал. Такие осцилляции быстро затухают в глубь образца.

Стабильность подобных ЭД систем была впервые доказана в работах [4, 5]. В работе [5] было проиллюстрировано возникновение осцилляций плотности заряда и потенциала. Так как рассматриваемые осцилляции потенциала существуют уже в приближении Хартри, в настоящей статье мы ограничиваемся лишь этим приближением. Учет обменных и корреляционных поправок значительно увеличивает глубину первых осцилляций, но ограничивает их общее число.

**1. Нелинейное экранирование.  
Качественное описание**

Итак, рассмотрим полупроводник, в котором созданы неравновесные ЭД пары, помещенный во внешнее электрическое поле. Мы будем считать, что положение квазиуровня Ферми для электронов  $\mu^-$  и дырок  $\mu^+$  задается

условиями в объеме полупроводника. В частности, когда неравновесные ЭД пары создаются внешним освещением, расстояния между квазиуровнями  $\mu^- - \mu^+$  определяются интенсивностью падающего света. Для определения одночастичных уровней электронов и дырок и хода электростатического потенциала в приближении Хартри при нулевой температуре необходимо решить систему уравнений, состоящую из уравнений Шредингера для электронов и дырок и связывающего их уравнения Пуассона

$$\left. \begin{aligned} -\Psi''_i + \Phi \Psi_i &= \varepsilon_i \Psi_i, \\ -\frac{1}{M} \Psi''_j - \Phi \Psi_j &= \varepsilon_j \Psi_j, \\ -\Phi'' &= 8\pi \left( \sum_i n_i \Psi_i^2 - \sum_j p_j \Psi_j^2 \right); \\ n_i &= g^- (\mu^- - \varepsilon_i), \\ p_j &= g^+ (\mu^+ - \varepsilon_j) \end{aligned} \right\} \quad (1)$$

с граничными условиями

$$\left. \begin{aligned} \Psi_i(0) &= \Psi_i(\infty) = \Psi_j(0) = \Psi_j(\infty) = 0, \\ \int_0^\infty \Psi_i^2(z) dz &= \int_0^\infty \Psi_j^2(z) dz = 1, \\ \Phi'(0) &= \mathcal{E} = 8\pi \left( \sum_i n_i - \sum_j p_j \right), \\ \Phi'(\infty) &= 0. \end{aligned} \right\} \quad (2)$$

Здесь индекс  $i$  нумерует электронные, а индекс  $j$  — дырочные состояния,  $\psi$  — волновые функции квантования в направлении  $z$ , перпендикулярном поверхности полупроводника,  $\Phi$  — потенциальная энергия электрона,  $n_i$  — поверхностная плотность электронов в состоянии  $i$ ,  $p_j$  — то же для дырок,  $M = m_e^+ / m_e^-$  — отношение эффективных масс дырок и электронов в направлении  $z$ . Выбрана система единиц, в которой единица энергии и потенциала есть  $e^4 m_e^- \kappa^{-2} \hbar^{-2} / 2$ , единица длины —  $\hbar^2 \kappa e^{-2} / m_e^-$ , единица заряда —  $e \kappa^{-1/2}$ ,  $\kappa$  — статическая диэлектрическая проницаемость,  $g^\pm$  — двумерная плотность состояний электронов (дырок),  $\mathcal{E}$  — напряженность внешнего электрического поля. Множитель  $8\pi$  в уравнении Пуассона связан с выбранной системой единиц. Число заполненных состояний должно определяться в ходе решения самосогласованным образом.

Прежде чем переходить к обсуждению результатов численных расчетов для системы (1)–(3), проведем оценки, показывающие характерные черты ее решений, а именно, что потенциал  $\Phi$  может иметь несколько минимумов и максимумов. Минимумы потенциала соответствуют одночастичным электронным состояниям, а максимумы — дырочным. Глобальный минимум (максимум) соответствует основному электронному (дырочному) состоянию, остальные — возбужденным состояниям. В этих оценках мы будем считать, что плотность заряда электронов, локализованных в первом минимуме потенциала, много больше плотности дырок, связанных первым максимумом и т. д., т. е. плотность в каждом последующем экстремуме много больше, чем в предыдущем. Тогда можно считать, что положение уровня энергии в предыдущем экстремуме не зависит от последующих. Это предположение означает, что если потенциал написать в виде суммы

$$\Phi = \sum_k \Phi_k, \quad -\Phi''_i = 8\pi n_i \Psi_i^2, \quad \Phi''_j = 8\pi p_j \Psi_j^2,$$

то соответствующие волновые функции  $\psi_k$  определяются из пары уравнений

$$\left. \begin{aligned} -\Psi''_k \pm \Phi_k \Psi_k &= \varepsilon_k \Psi_k, \\ \mp \Phi'_k &= 8\pi n_k \Psi_k^2 \end{aligned} \right\} \quad (4)$$

(«приближение независимых ям»).

В силу предположения о малости плотности частиц в других ямах плотность электронов у поверхности  $n_1$  равна  $\epsilon/8\pi$ . Положение квазиуровня Ферми в яме должно совпадать с его положением в объеме полупроводника. Однако при этом положение «хвоста» потенциала может не совпадать с дном зоны проводимости. Разность между значением потенциала на бесконечности и положением дна зоны проводимости  $V_c$  равна

$$\delta_1 \equiv \Phi_1(\infty) - V_c = \delta_0 - (V_c - \mu^-) - \left( \epsilon_1 + \frac{n_1}{g^-} \right),$$

где  $\delta_0 = \Phi_1(\infty) - \Phi_1(0)$  — положение уровня энергии относительно минимума потенциала,  $n_1$  — двумерная плотность частиц в первой яме (рис. 1). Поскольку положение хвоста потенциала в глубине образца совпадает с дном зоны проводимости, наличие зазора  $\delta_1 > 0$  означает, что полный потенциал загибается

затем вниз, образуя яму для дырок. Плотность дырок в этой яме  $p_1$  должна быть такой, чтобы  $\Phi_2(\infty) - \Phi_2(0) = \delta_1$ .

Для дырок необходимо также уравнять квазиуровни Ферми на поверхности и в объеме. В нашем приближении это приведет к сдвигу дырочной ямы (вниз на рис. 1) на величину

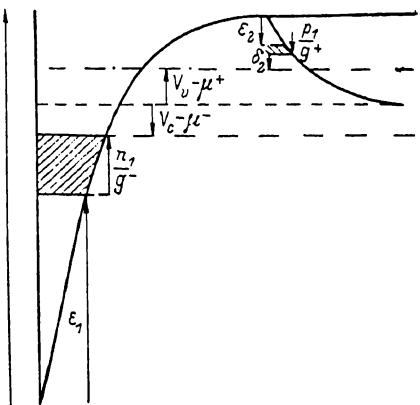


Рис. 1. Иллюстрация к расчету потенциала в приближении независимых ям.

Для наглядности потенциал  $\Phi_2$  сдвинут относительно начала координат.

$$\delta_2 = \delta_1 - (V_v - \mu^+) - \left( \epsilon_2 + \frac{p_1}{g^+} \right),$$

где  $V_v$  — положение дна валентной зоны. Величина  $\delta_2$  позволяет найти плотность электронов  $n_2$ . Эта плотность будет соответствовать плотности заряда во второй электронной яме. Уровень энергии в этой яме соответствует первому возбужденному состоянию всей электронной системы, так как  $n_2$  мало по сравнению с  $p_1$  и  $n_1$ , из чего следует, что потенциальные ямы разделены широкой стенкой, и волновая функция всей электронной системы есть суперпозиция волновых функций подсистем. Из-за быстрого затухания волновой функции, соответствующей первой яме, вклад в плотность заряда вносит лишь функция, соответствующая второй электронной яме.

Продолжая этот процесс, получим следующие соотношения:

$$\delta_0 = \Phi_1(\infty) - \Phi_1(0),$$

$$\delta_{2k-1} = \delta_{2k-2} - (V_c - \mu^-) - \left( \epsilon_{2k-1} + \frac{n_k}{g^-} \right),$$

$$\delta_{2k} = \delta_{2k-1} - (V_v - \mu^+) - \left( \epsilon_{2k} + \frac{p_k}{g^+} \right).$$

Для нахождения величин  $\epsilon_k$  и  $\delta_k$  воспользуемся автомодельностью уравнений Хартри, т. е. тем, что при преобразовании

$$\Psi = \sqrt{\alpha} \tilde{\Psi}, \quad \Phi = \alpha^2 \tilde{\Phi}, \quad \epsilon = \alpha^2 \tilde{\epsilon}, \quad n_k = \alpha^3 \tilde{n}_k, \quad z = \frac{z}{\alpha} \quad (5)$$

новые переменные также удовлетворяют уравнениям (4). Другими словами, если мы решим систему (4) при каком-нибудь  $n_k \neq 0$ , то все другие решения (4) можно получить с помощью преобразования (5). Пусть энер-

тия  $\varepsilon_0$  и потенциал  $\Phi_0(z)$  сосчитаны для внешнего поля  $\mathcal{E}_0 = 8\pi n_0 = 1$ . Тогда из (5) следует

$$\left. \begin{aligned} \delta_0 &= \sqrt[3]{\mathcal{E}}, \quad \alpha_l = \sqrt{\frac{\delta_{l-1}}{\Phi_0(\infty) - \Phi_0(0)}}, \\ n_k &= \frac{\alpha_{2k-1}^3}{8\pi}, \quad p_k = \frac{\alpha_{2k}^3}{8\pi}, \\ \varepsilon_k &= \alpha_k^2 \varepsilon_0. \end{aligned} \right\} \quad (6)$$

При известных  $\varepsilon_0$  и  $\Phi_0$  соотношения (4)–(6) позволяют найти ход потенциала  $\Phi(z) = \sum_k \Phi_k(z)$ . В случае, когда квазиуровни Ферми совпадают с краями зон, т. е.  $V_c - \mu^- = V_b - \mu^+ = 0$ , потенциал в нашем приближении осциллирует, причем число минимумов и максимумов бесконечно. Действительно, для малых  $\delta_k$  из (5), (6) следует, что  $\delta_{k+1} = \delta_k [1 - \varepsilon_0/(\Phi_0(\infty) - \Phi_0(0))] + o(\delta_k)$ , т. е. что суммарный потенциал осциллирует с уменьшающейся амплитудой и возрастающим периодом. Воспользовавшись для однократным решением [6] с пробной функцией  $\Psi(z) = Az \exp(az/2)$ , получим  $\delta_{k+1} = \frac{9}{64} \delta_k + o(\delta_k)$ .

В случае, когда  $\mu^- - \mu^+$  меньше ширины запрещенной зоны, число колебаний потенциала и, следовательно, возбужденных состояний конечно, так как  $\delta_k$  рано или поздно окажется отрицательным. Это означает, что потенциальная яма оказывается слишком мелкой и рассматриваемый механизм экранирования не применим для столь слабых полей. Можно было бы оценить число возбужденных состояний для различных  $\mu^- - \mu^+$  и  $\mathcal{E}$ , однако эти оценки будут слишком грубыми. Кроме того, учет многочастичных эффектов, например, по методу функционала плотности [7] существенно углубит первые уровни, а учет возможности образования экситона в объеме обрежет потенциал в глубине образца. Однако общая картина поведения системы качественно не изменится, и по крайней мере первое возбужденное состояние для электронов может наблюдаться в реальных условиях.

## 2. Нелинейное экранирование. Численные расчеты

Предположим, что заполнены лишь основные состояния для электронов и дырок. Тогда система описывается уравнениями

$$\left. \begin{aligned} -\Psi_1'' + \Phi \Psi_1 &= \varepsilon_1 \Psi_1, \\ -\Psi_2'' - \Phi \Psi_2 &= \varepsilon_2 \Psi_2, \\ -\Phi'' &= 8\pi [(n_s + p) \Psi_1^2 - p \Psi_2^2] \end{aligned} \right\} \quad (7)$$

с граничными условиями

$$\left. \begin{aligned} \Psi_1(0) &= \Psi_1(\infty) = \Psi_2(0) = \Psi_2(\infty) = 0, \\ \Phi'(0) &= 8\pi n_s, \\ \Phi'(\infty) &= 0, \\ \int_0^\infty \Psi_1^2(z) dz &= \int_0^\infty \Psi_2^2(z) dz = 1 \end{aligned} \right\} \quad (8)$$

и условиями квазиравновесия

$$\left. \begin{aligned} n_s + p &= g^- (\mu^- - \varepsilon_1), \\ p &= g^+ (\mu^+ - \varepsilon_2). \end{aligned} \right\} \quad (9)$$

Здесь для простоты считается  $M = 1$ . В общем случае для произвольных  $\mathcal{E}$ ,  $g$  и  $\mu$  условия (9) неразрешимы, так как  $\varepsilon_1$  и  $\varepsilon_2$  являются функциями от  $n_s$  и  $p$ ,  $n_s$  фиксировано, и в результате на одну переменную  $p$

наложено два условия. Продемонстрируем, как учет возбужденных состояний помогает преодолеть эту трудность. Попробуем решить систему уравнений, близкую к (7), (8), с условиями (9). В качестве такой системы выберем систему (7), которую мы будем интегрировать на отрезке от  $z=0$  до  $z=L$ . Границные условия (8) заменяются на

$$\left. \begin{aligned} \Psi_1(0) &= \Psi_1(L) = \Psi_2(0) = \Psi_2(L) = 0, \\ \Phi'(0) &= 8\pi n_s, \\ \Phi(L) &= 0, \\ \int_0^L \Psi_1^2(z) dz &= \int_0^L \Psi_2^2(z) dz = 1. \end{aligned} \right\} \quad (10)$$

Исходная система получается в пределе  $L \rightarrow \infty$ . Систему (7) с такими граничными условиями можно разрешить и при дополнительных условиях

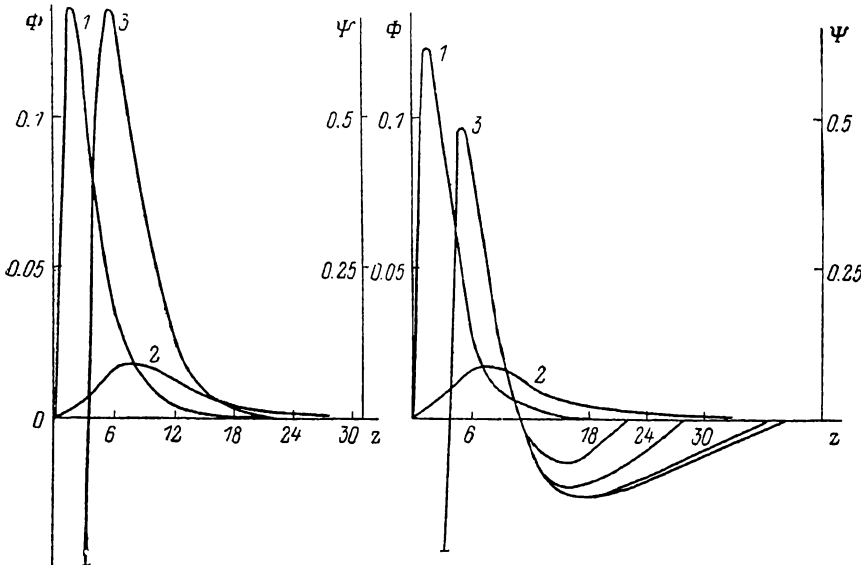


Рис. 2. Потенциал (3), волновые функции электронов (1) и дырок (2), полученные при численном решении системы (7) с граничными условиями (8) (а) и (10) (б).

$n_s=0.04$ ,  $p=0.0023$ . В случае а  $\epsilon_1=-0.055$ ,  $\epsilon_2=-0.035$ . В случае б  $\epsilon_1=-0.0912$ ,  $\epsilon_2=-0.0009$ . Волновые функции нормированы на число частиц на единице площади, умноженное на  $8\pi$ .

(9). Это связано с тем, что система (7) имеет частное решение  $\Psi_1=\Psi_2=0$ ,  $\Phi=az+\beta$ . Это означает, что для соблюдения условий (9) можно сдвинуть потенциал  $\Phi$  так, чтобы получить необходимое  $\epsilon_1$ . Если  $L$  достаточно велико, то при больших  $z$   $\Psi_1 \approx \Psi_2 \approx 0$ . В этой области можно заменить потенциал  $\Phi$  на  $az+\beta$ , выбрав  $a$  и  $\beta$  так, чтобы  $\Phi(L)=0$ . На рис. 2, б приведены решения системы уравнений (7) с условиями (9), (10) для различных  $L$ . На рис. 2, а приведено соответствующее решение для системы (7) с граничными условиями (8). Эти решения получены методом дифференцирования по параметру [8]. При решении системы задавались значения  $\epsilon_1$  и  $\epsilon_2$ . Границные условия в точке  $z=0$  считались функцией  $F$  начальных условий на правом конце  $z=L$  и интегрировалась система уравнений

$$\sum_j \frac{dx_j}{d\tau} \frac{\partial F_i}{\partial x_j} = -F(x_0).$$

Здесь  $x_0$  — начальное приближение для начальных условий на правом конце отрезка интегрирования. Интегрирование производится от точки  $\tau=0$  до точки  $\tau=1$ . Значение  $x$  (1) оказывается начальным условием, при котором выполняются граничные условия (10). При сравнении

рис. 2, а и б видно, что рис. 2, б действительно получается из рис. 2, а сдвигом на величину  $\sim 0.3$ . Полученные результаты можно интерпретировать следующим образом. По мере увеличения  $L$  появляется еще одна потенциальная яма для электронов в области больших  $z$ . Так как глубина ее почти не меняется с увеличением  $L$ , а ширина с увеличением  $L$  увеличивается, то при некотором  $L$  в ней появится свой уровень энергии, который в случае, приведенном на рис. 2, окажется первым возбужденным состоянием для всей электронной подсистемы. Если этот уровень окажется ниже  $\mu^-$ , то он заполнится, электроны начнут экранировать поле, и  $\Phi'(L)$  в случае заполнения такого возбужденного уровня окажется близким к нулю, начиная с некоторого  $L$ . Предположение о заполнении возбужденного уровня означает добавление еще одного уровня в систему (7) с соот-

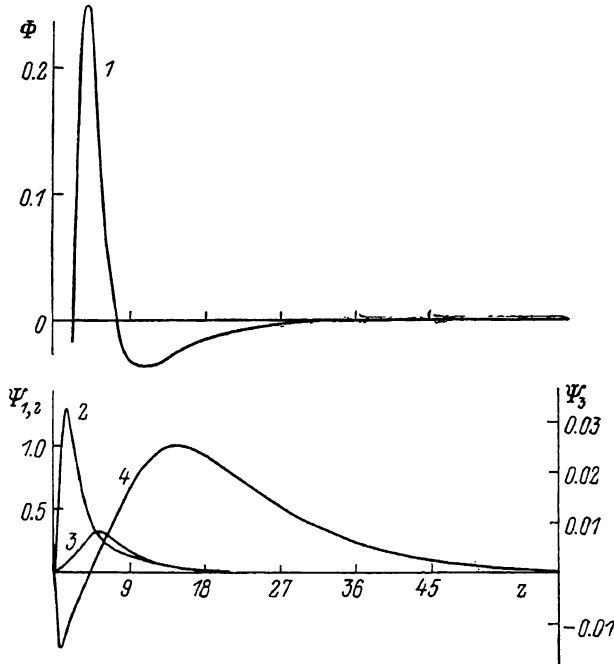


Рис. 3. Потенциал (1), волновые функции электронов (2, 4) и дырок (3) в случае заполнения второго электронного уровня.

$n_1 = 0.14$ ,  $p_1 = 0.022$ ,  $n_2 = 3.9 \cdot 10^{-4}$ ,  $\epsilon_1 = -0.06$ ,  $\epsilon_2 = -0.012$ ,  $\epsilon_3 = -8.6 \cdot 10^{-3}$ ,  $\mu^- = -8.42 \cdot 10^{-3}$ , двумерная плотность состояний электронов соответствует Si (111) и равна  $g^- = 2.65$ ,  $\mu^+ = -0.051$ ,  $g^+ = 0.55$ . Волновые функции нормированы так же, как на рис. 2.

ветствующими дополнениями условий (8) и (9). На рис. 3 приведено решение системы уравнений для случая, когда заполнено одно возбужденное состояние для электронов. Напряженность внешнего поля подобрана таким образом, что выполняется условие равенства квазиуровней Ферми в объеме и на поверхности, когда заполнены лишь два электронных уровня. Из рисунка видно, что потенциал и волновые функции ведут себя так, как ожидалось из простых оценок, приведенных в предыдущем разделе. Волновая функция возбужденного состояния действительно сосредоточена в основном в области больших  $z$ . Появление второго минимума потенциала может проявиться в экспериментах как «аномальное» увеличение подвижности и парамагнитной восприимчивости электронной системы.

### 3. Осцилляции потенциала, связанные с нелинейностью

Выше показано, как условие выравнивания квазиуровней Ферми на поверхности и в объеме приводит к немонотонному поведению потенциала. Возникает вопрос, всегда ли потенциал монотонен, если положение ква-

зиуровня не задается объемом. Такая ситуация возможна, например, в тонких образцах. В этом случае заданным оказывается не положение квазиуровней Ферми, а внешнее поле и число созданных на единице площади образца неравновесных ЭД пар. Если образец все-таки достаточно толстый, то система в приближении Хартри описывается уравнениями (7) с граничными условиями (8), но без дополнительных условий (9). Казалось бы, в этом случае потенциал  $\Phi$  имеет лишь один минимум для электронов и один максимум для дырок. Однако нелинейность уравнений (7) приводит к тому, что если энергия  $\epsilon_1$  порядка  $\epsilon_2$  и близка к дну соответствующей зоны, то потенциал может иметь более чем один максимум, хотя волновые функции по-прежнему соответствуют основному состоянию. На рис. 4 приведены волновые функции  $\Psi_{1,2}$  и график функции  $\Phi^{1/5}$ . Степень функции  $\Phi$ , а не сама функция приведены для того, чтобы показать характер решения при больших  $z$ , когда  $\Phi(z)$  настолько мал, что неразличим на рисунке. Появление приведенных на рисунке осцилляций связано с тем, что, хотя  $\Psi_1$  и  $\Psi_2$  по отдельности не имеют нулей, разность  $(n_s + p)\Psi_1^2 - p\Psi_2^2$  знакопеременна. В случае, когда  $|\epsilon_1| \gg |\epsilon_2|$ ,  $\Psi_1$  быстро затухает, и при больших  $z$  оказывается, что

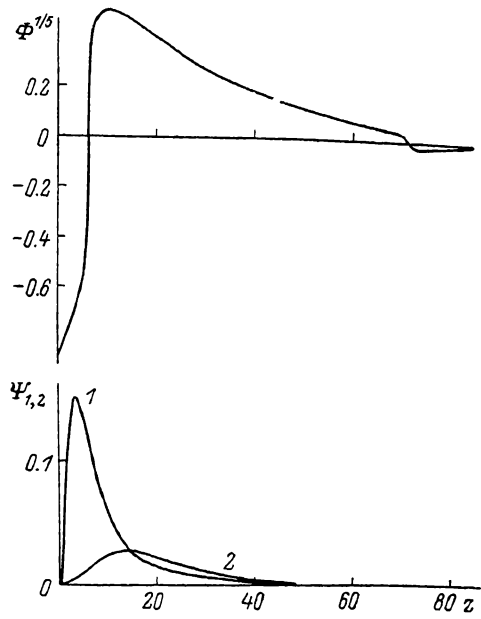


Рис. 4. Осцилляция потенциала при энергиях, близких к нулю.

$\epsilon_1 = -0.0094$ ,  $\epsilon_2 = -0.0067$ ,  $n_s = 0.0051$ ,  $p = 4.0 \cdot 10^{-4}$ . Волновые функции нормированы так же, как на рис. 2.

$(n_s + p)\Psi_1^2 - p\Psi_2^2 \approx -p\Psi_2^2$ . В этом случае потенциал имеет один максимум. Если  $\epsilon_1 \approx \epsilon_2$ , то знак  $(n_s + p)\Psi_1^2 - p\Psi_2^2$  может меняться несколько раз. Однако если  $|\epsilon_1/\Phi(0)|$  велико, то волновые функции быстро затухают, что приводит к быстрому затуханию рассматриваемых осцилляций. Самый благоприятный случай наблюдения подобных осцилляций потенциала наступает, когда  $\epsilon_1 \approx \epsilon_2 \approx \Phi(\infty)$ . В работе [5] приведены численные расчеты и аналитические оценки для предельного случая  $\epsilon_1 = \epsilon_2 = 0$ .

Таким образом, даже в случае, когда квазиуровни Ферми устанавливаются поверхностью образца, в силу нелинейного характера уравнений (7) возможно осциллирующее поведение потенциала и плотности заряда. Экспериментальное наблюдение таких осцилляций, однако, затруднено малой амплитудой и быстрым затуханием колебаний.

#### 4. Обсуждение результатов

Приведенные расчеты показывают, что при экранировании постоянного внешнего электрического поля в полупроводниках в присутствии неравновесных носителей образуются два и более слоев с чередующимся знаком заряда. Два слоя образуются независимо от того, считаем ли мы, что в приповерхностной области существуют заданные условиями в объеме квазиуровни Ферми или что задано число неравновесных ЭД пар на единице поверхности образца. Вследствие выравнивания квазиуровней Ферми на поверхности и в объеме потенциал имеет в общем случае осциллирующий характер, причем с каждыми новыми минимумом и максимумом связано следующее возбужденное состояние. При заданном числе

частиц потенциал также может иметь осциллирующий ход, однако появление таких осцилляций происходит в условиях, когда энергии дна соответствующих поверхностных подзон близки к краю валентной зоны или зоны проводимости в объеме полупроводника. Кроме того, такие осцилляции имеют меньшую амплитуду, с различными минимумами и максимумами не связаны различные состояния носителей, что сильно затрудняет их наблюдение. Учет обменно-корреляционных поправок не должен качественно изменить картину в случае, когда задаются квазиуровни Ферми.

Авторы благодарят В. М. Аснина и Е. И. Левина за полезные обсуждения.

#### Л и т е р а т у р а

- [1] Алтухов П. Д., Иванов А. В., Ломасов Ю. Н., Рогачев А. А. Письма в ЖЭТФ, 1983, т. 38, № 1, с. 5—8.
- [2] Алтухов П. Д., Иванов А. В., Ломасов Ю. Н., Рогачев А. А. Письма в ЖЭТФ, 1984, т. 39, № 9, с. 432—436.
- [3] Аснин В. М., Рогачев А. А., Степанов В. И., Чурилов А. Б. Письма в ЖЭТФ, 1987, т. 45, № 9, с. 436—439.
- [4] Алтухов П. Д., Монахов А. М., Рогачев А. А., Харциев В. Е. ФТТ, 1985, т. 27, № 2, с. 576—578.
- [5] Монахов А. М., Рогачев А. А. Письма в ЖТФ, 1987, т. 13, № 14, с. 858—862.
- [6] Андо Т., Фаулер А., Стерн Ф. Электронные свойства двумерных систем. М.: Мир, 1985. 415 с.
- [7] Теория неоднородного электронного газа / Под ред. О. Лундквист, Н. Марч. М.: Мир, 1987. 400 с.
- [8] На Ц. Вычислительные методы решения прикладных граничных задач. М.: Мир, 1982. 294 с.

Физико-технический институт  
им. А. Ф. Иоффе АН СССР  
Ленинград

Поступило в Редакцию  
3 декабря 1987 г.